

13. А. А. Дерибас. Физика упрочнения и сварки взрывом. Новосибирск, «Наука», 1972.
14. С. J. Taylor. Scientific Papers Sir G. J. Taylor. V. III. Cambridge, Cambridge Univ. Press, 1963, p. 309.
15. Eyring a. o. Chem. Rev., 1949, **45**, 69.
16. Л. Н. Акимов, А. Я. Апин. ФГВ, 1967, **3**, 2, 197.
17. В. Ф. Лобанов, Ю. И. Фадеенко.— В сб.: Динамика сплошной среды. Вып. 7, Новосибирск, ИГ СО АН СССР, 1971.
18. К. П. Станюкович. Неуставнившиеся движения сплошной среды. М., «Наука», 1971.
19. Л. В. Овсянников. Лекции по основам газовой динамики. Новосибирск, НГУ, 1967.
20. R. A. Stager. H. G. Drickamer. Phys. Rev., 1969, **132**, 1, 124.
21. В. Н. Жарков, П. А. Калинин. Уравнения состояния твердых тел при высоких давлениях и температурах. М., «Наука», 1968.
22. Н. М. Кузнецов, К. К. Шведов. ФГВ, 1967, **4**, 2, 203.
23. М. В. Жерноклетов, В. Н. Зубарев, Г. С. Телегин. ПМТФ, 1969, **4**, 127.

УДК 662.3

## СТРУКТУРА ДЕТОНАЦИОННОЙ ВОЛНЫ В АММОНИТЕ 6ЖВ

*B. A. Васильев, L. I. Альбов*

Смесевые взрывчатые вещества по своим детонационным свойствам обладают рядом известных особенностей по сравнению с индивидуальными ВВ. Как правило, для смесевых ВВ характерны относительно большие значения критического диаметра, низкая чувствительность к ударной волне, наличие участка возрастания критического диаметра с увеличением плотности заряда, большое различие между критическим диаметром и диаметром, соответствующим идеальной детонации.

Наиболее изучена группа смесевых ВВ на основе аммиачной селитры с добавлением мощных ВВ типа тротила и гексогена, представителями этой группы являются, например, штатные ВВ аммонит 6ЖВ и аммонит ПЖВ-20. В работе [1] установлено увеличение критического диаметра с ростом начальной плотности. Широкое экспериментальное исследование аммонитов в большом интервале плотностей проведено в работах [2—5]. В частности, в них отмечены такие интересные особенности детонации аммонитов, как уменьшение массовой скорости в точке Жуге с ростом начальной плотности, а также быстрое спадание массовой скорости за химическим пиком. По общему мнению, аномальные по сравнению с индивидуальными ВВ детонационные свойства аммонитов связаны с дегоранием продуктов распада селитры и тротила при их смешении в зоне реакции.

В данной работе исследована детонация штатного аммонита 6ЖВ в интервале насыпных плотностей 0,8—1,1 г/см<sup>3</sup>. В опытах использовались цилиндрические заряды диаметром 50 мм и длиной не менее 130 мм в оболочках из картона, винилпласти толщиной 6,5 мм и песка ~30 мм, инициирование проводилось плосковолновой линзой. Электромагнитным методом [6] получены профили массовой скорости  $u(t)$ , сигналы датчиков регистрировались с помощью осциллографа ОК-33 на развертках 3 и 10 мкс.

Для исключения влияния датчиков на запись быстрого изменения  $u$  в зоне реакции толщина алюминиевой фольги менялась от 0,035 до 0,2 мм. Сопоставление осциллограмм записи профиля  $u(t)$  при одинаковых начальных плотностях, но при разных толщинах датчиков показало, что датчики из толстой фольги искажают запись химпика,

в частности, завышают его длительность в 1,5—2 раза и занижают максимальную массовую скорость. Экстраполяция данных к нулевой толщине позволила учесть погрешности, связанные как с синерционностью датчика, так и с задержкой инициирования следующего за ним слоя ВВ.

Характер записи массовой скорости при развертке 3 мкс показан на рис. 1. Применение тонких датчиков позволило разрешить в записях зону нарастания массовой скорости на переднем фронте, длительность которой  $\tau_\phi$  на порядок превышала аппаратурный завод осциллографа. Эта зона соответствует, по-видимому, ударному сжатию насыпного аммонита. За точкой максимума следует резкое уменьшение скорости, обусловленное энерговыделением в ходе быстрой реакции, затем химпик сменяется более плавным изменением массовой скорости. В табл. 1

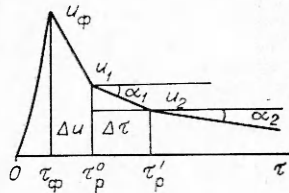


Рис. 1

Таблица 1

Материал оболочки	$\rho_0$ , г/см <sup>3</sup>	$D$ , км/с	$u_\phi^0$ , км/с	$u_1$ , км/с	$\tau_\phi^0$ , мкс	$\tau_p^0$ , мкс	$p_{cp}$ , кбар	$a$ , мм
Картон	0,81	3,85	3,14	1,76	0,24	0,33	76,4	0,46
»	0,83	3,87	3,05	1,73	0,21	0,31	76,8	0,46
Винилласт	0,83	3,91	3,18	1,81	0,21	0,30	80,5	0,42
Песок	0,83	4,08	3,24	1,76	0,17	0,24	86,4	0,40
Картон	0,94	4,03	2,65	1,51	0,18	0,26	79,7	0,50
Винилласт	0,94	4,11	3,05	1,68	0,18	0,23	90,2	0,39
Песок	0,94	4,21	2,85	1,59	0,19	0,23	87,1	0,45
Картон	1,1	4,22	2,26	1,39	0,12	0,19	85,1	0,46

приведены усредненные по 6—10 записям результаты измерений для четырех значений начальной плотности и разных оболочек. Значения максимальной массовой скорости  $u_\phi$ , времени нарастания  $\tau_\phi$  и времени реакции  $\tau_p$  экстраполированы к нулевой толщине датчика (данные по временам согласуются с приведенными в работе [3], если учесть, что там время реакции соответствует  $\sim 1,5(\tau_\phi + \tau_p)$ ). Кроме того, рассчитаны значения среднего давления в зоне энерговыделения  $p_{cp} = \rho_0 D \frac{u_\phi^0 + u_1}{2}$  и ширины зоны реакции  $a = (D - \bar{u}) \tau_p^0$ , где  $\bar{u} = \frac{u_\phi^0 + u_1}{2}$ .

На рис. 2, а построена зависимость, характеризующая изменение скорости энерговыделения в химпике от давления. Из графика видно, что скорость реакции растет с увеличением давления почти линейно. Такой же ход зависимости скорости реакции от давления наблюдается и у ряда индивидуальных ВВ [7].

Характер изменения массовой скорости в конце химпика в зависимости от плотности заряда показывает, что увеличение массы оболочки, ограничивающей боковой разлет продуктов детонации, увеличивает массовую скорость для каждой начальной плотности. Хотя зависимость  $u_1(\rho_0)$  остается убывающей, но скорость убывания  $du_1/d\rho_0$  уменьшается.

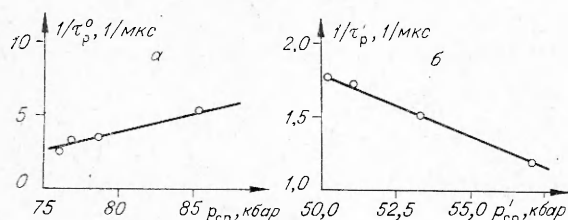


Рис. 2

Таблица 2

$\rho_0$ , г/см <sup>3</sup>	$D$ , км/с	$u_1$ , км/с	$u_2$ , км/с	$\alpha_1$ , м/мкс <sup>2</sup>	$\alpha_2$ , м/мкс <sup>2</sup>	$\tau_p^0$ , мкс	$\tau_p'$ , мкс	$a'$ , мм	$p_{cp}'$ , кбар
0,81	3,85	1,76	1,47	0,51	0,30	0,33	0,57	1,28	50,2
0,83	3,87	1,73	1,44	0,49	0,29	0,31	0,59	1,35	50,8
0,94	4,03	1,51	1,28	0,39	0,27	0,25	0,67	1,76	53,0
1,1	4,22	1,39	1,07	0,37	0,21	0,19	0,85	2,54	57,2
0,87	4,58	1,15	—	—	0,29	0,37*	—	—	—
1,1	5,35	1,39	—	—	0,22	0,18*	—	—	—
0,93	5,52	1,71	—	—	0,24	0,25**	—	—	—
1,1	6,23	1,78	—	—	0,20	0,16**	—	—	—

\* Тротил.

\*\* Гексоген.

Применение тонких датчиков, дающих более подробную информацию о структуре зависимости  $u(t)$ , позволило выявить новую особенность профиля массовой скорости. При анализе осциллограмм проводилось измерение наклона профиля  $du/dt$  в области медленного уменьшения массовой скорости за химпиком. На осциллограммах, полученных с датчиками толщиной 0,035—0,08 мм, четко различаются два участка с разными значениями наклона углов  $\alpha_1$  и  $\alpha_2$  (см. рис. 1). Сразу за химпиком имеется участок сравнительно быстрого падения массовой скорости, причем профиль в пределах этого участка почти линейный, т. е.  $\alpha_1 = \text{const}$ . После плавного перехода длительностью 0,1—0,2 мкс наблюдается более плавное уменьшение  $u$  с почти постоянной скоростью падения, характеризуемой углом  $\alpha_2$ . Значения  $\alpha_1$  и длительности первого участка в разных опытах при одной и той же начальной плотности оставались постоянными с точностью 10—20%.

В табл. 2 приведены результаты измерений, усредненные по 5—8 записям, для тех же значений начальной плотности что и в табл. 1. Наряду с наклонами  $\alpha_1$  и  $\alpha_2$  измерялись длительность  $\tau_p$  и массовая скорость  $u_2$  в конце участка, рассчитаны также среднее давление  $p_{cp}' = \rho_0 D \frac{u_1 + u_2}{2}$  и длина участка  $a' = \left(D - \frac{u_1 + u_2}{2}\right) \tau_p'$ . Значения  $\alpha_1$ ,  $\alpha_2$  и  $\tau_p$ , полученные для зарядов в массивных оболочках, лежат в пределах разброса.

Из табл. 2 видно, что для всех исследованных начальных плотностей наклон  $\alpha_2$  приблизительно в 2 раза меньше, чем  $\alpha_1$ . Для сравнения в последних четырех строках таблицы приведены наклоны  $du/dt$  за химпиком в тротиле и гексогене, полученные в аналогичной постановке опытов. Значения  $du/dt$  близки к величине  $\alpha_2$  при близких плотностях. Таким образом, наклон профиля  $u(t)$  в области медленного падения соответствует обычному разлету продуктов детонации в волне разрежения. Влияние бокового разлета на наклон профиля было несущественным, что показали опыты с массивными оболочками.

С увеличением начальной плотности наблюдается уменьшение наклона  $\alpha_1$  на участке быстрого падения массовой скорости, при этом его длительность  $\tau_p$  растет. Увеличение давления в исследованном интервале плотностей ведет к быстрому росту  $\tau_p$  (см. рис. 2, б, на котором приведена зависимость  $(\tau_p)^{-1}$  от среднего давления на этом участке).

Имеющиеся в литературе данные регистрации  $u(t)$  в аммонитах электромагнитным методом [2—4] относятся в основном к сравнительно высоким плотностям зарядов ( $> 1,3$  г/см<sup>3</sup>). Отдельные результаты для насыпных плотностей получены с использованием датчиков

толщиной 0,15—0,20 мм. При больших плотностях разность наклонов мала и практически не регистрируется, при насыпных плотностях запись химпика от толстых датчиков почти полностью перекрывает участок большого наклона профиля  $u(t)$ , в связи с чем указанную разность наклонов трудно заметить.

Из табл. 1 видно, что ширина зоны реакции, определяемая по химпiku, практически не зависит от плотности заряда. В то же время известно, что при малых плотностях критический диаметр аммонитов растет с увеличением плотности. Эти факты находятся в противоречии с соотношением Харитона  $d_{kp} \sim a$ . Если взять из [8] выражение  $a = (0,1-0,2)d_{kp}$ , то для критического диаметра при насыпных плотностях получатся значения 2,3—4,6 мм, в то время как критические диаметры аммония 6ЖВ для этих плотностей составляют 8—15 мм. Таким образом, сопоставление ширины зоны реакции с критическим диаметром обнаруживает расхождение как в характере зависимости от плотности, так и в абсолютных значениях  $a$  и  $d_{kp}$ .

Исходя из полученных данных и общепринятых представлений, можно предположить, что химическое превращение аммонита в детонационной волне проходит в две стадии. В первой происходит взрывное разложение тротила и селитры без существенного смешения промежуточных продуктов реакции, быстрая реакция сопровождается резким уменьшением массовой скорости в химпике. Участок более плавного спадания скорости (см. рис. 1) соответствует вторичной реакции догонания продуктов распада тротила и селитры при их взаимном смешении. В пользу этого предположения говорят следующие факты:

1) зависимость времени реакции  $\tau_p^0$  от давления в химпике аналогична известным соотношениям для индивидуальных ВВ, т. е.  $\tau_p^0$  уменьшается с увеличением давления. Такая зависимость характерна для мономолекулярного разложения ВВ в детонационной волне;

2) длительность участка 1—2, обозначенная  $\tau_p$  (см. рис. 1), растет с увеличением давления. Это согласуется с известными представлениями об уменьшении скорости диффузии с ростом давления и плотности. Если высказанное предположение верно и на участке 1—2 действительно происходит реакция, то на основе полученных данных можно объяснить ряд особенностей в детонационных свойствах аммонитов. Ширина зоны реакции должна определяться суммой  $a+a'$ , где  $a = \left(D - \frac{u_\Phi^0 + u_1}{2}\right) \tau_p^0$ ,  $a' = \left(D - \frac{u_1 + u_2}{2}\right) \tau_p$ . Из табл. 2 видно, что ширина зоны заметно увеличивается с ростом начальной плотности. Это согласуется с увеличением критического диаметра при повышении плотности. По значениям ширины зоны реакции можно оценить величину критического диаметра:  $d_{kp} = (5-10)a$ . Для плотности 1 г/см<sup>3</sup> оценка дает  $d_{kp} \approx (10-20)$  мм, хорошо согласующееся с экспериментом.

Большие значения ширины зоны вторичной реакции объясняют также большой разрыв у аммонитов между  $d_{kp}$  и  $d_{pr}$ . Медленный выход скорости детонации на идеальное значение связан с малым энерговыделением в зоне вторичной реакции, чему соответствует небольшой наклон  $du/dt$  на участке 1—2 (см. рис. 1).

В заключение приведем оценку наибольшего возможного значения предельных плотностей аммонита 6ЖВ, соответствующих максимумам зависимостей  $d_{kp}(\rho_0)$  и  $D(\rho_0)$ . На рис. 3, по нашим данным построена зависимость  $1/\tau_p(\rho_0)$ , характеризующая изменение скорости вторичной реакции при увеличении начальной плотности. Точка пересечения экстраполированной прямой с осью абсцисс дает значение плотности, при которой прекращается вторичная реакция. При дальнейшем увеличении плотности реакция будет состоять из одной стадии взрывного

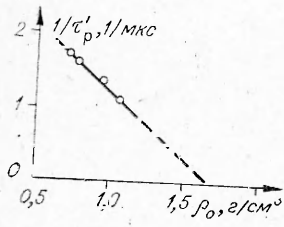


Рис. 3

является слишком строгим.

Авторы приносят благодарность Л. В. Дубнову за содействие в проведении работы.

ИФЗ АН СССР

Поступила в редакцию  
9/1 1975

#### ЛИТЕРАТУРА

1. А. Ф. Беляев. — В сб.: Вопросы теории ВВ. Вып. 1. М., Изд-во АН СССР, 1947.
2. А. Н. Дремин, К. К. Шведов, В. А. Веретеников. — В сб.: Взрывное дело, № 52/9. М., 1963.
3. А. Н. Дремин, Л. В. Дубнов и др. ФГПРПИ, 1971, 1.
4. А. Н. Дремин и др. ФГПРПИ, 1971, 4.
5. Л. В. Дубнов, Э. В. Постников. — В сб.: Взрывное дело, № 52/9. М., 1963.
6. П. Ф. Покиль, В. М. Мальцев, В. М. Зайцев. Методы исследования процессов горения и детонации. М., «Наука», 1969.
7. Л. И. Альбов, В. А. Васильев. Труды МФТИ, серия «Аэромеханика. Процессы управления». М., 1974.
8. А. Н. Дремин, С. Д. Савров и др. Детонационные волны в конденсированных средах. М., «Наука», 1970.

УДК 534.222.2:662.398

#### О КРИТИЧЕСКИХ ДИАМЕТРАХ ДЕТОНАЦИИ В В С ИНЕРТНЫМИ ДОБАВКАМИ

Г. В. Димза

Исследовались критические диаметры детонации взрывчатых композиций на основе гексогена, октогена и тротила с разным содержанием в них твердых инертных наполнителей и воздуха. Оценивалось влияние на развитие детонации плотности и пористости зарядов. Последнее связывалось с возможностью поджигания частиц ВВ газообразными продуктами реакции [1] в процессе распространения детонации по заряду. Ранее [2] отмечалось воздействие горячих газов при возбуждении детонации передачей через воздушный промежуток. Было показано, что нанесение слоя флегматизатора на зерна ВВ или помещение слоя воды на торец пассивного заряда приводит к существенному уменьшению расстояния передачи детонации. Можно было предположить, что механизм возбуждения детонации, в известной мере аналогичный предложенному А. Я. Апиным механизму взрывного горения [1], может наблюдаться и у исследуемых в настоящей работе взрывчатых систем.

Для изучения критических диаметров детонации применялись порошки взрывчатых веществ со средним размером частиц около 0,1 мм.